



SEMMELWEIS EGYETEM

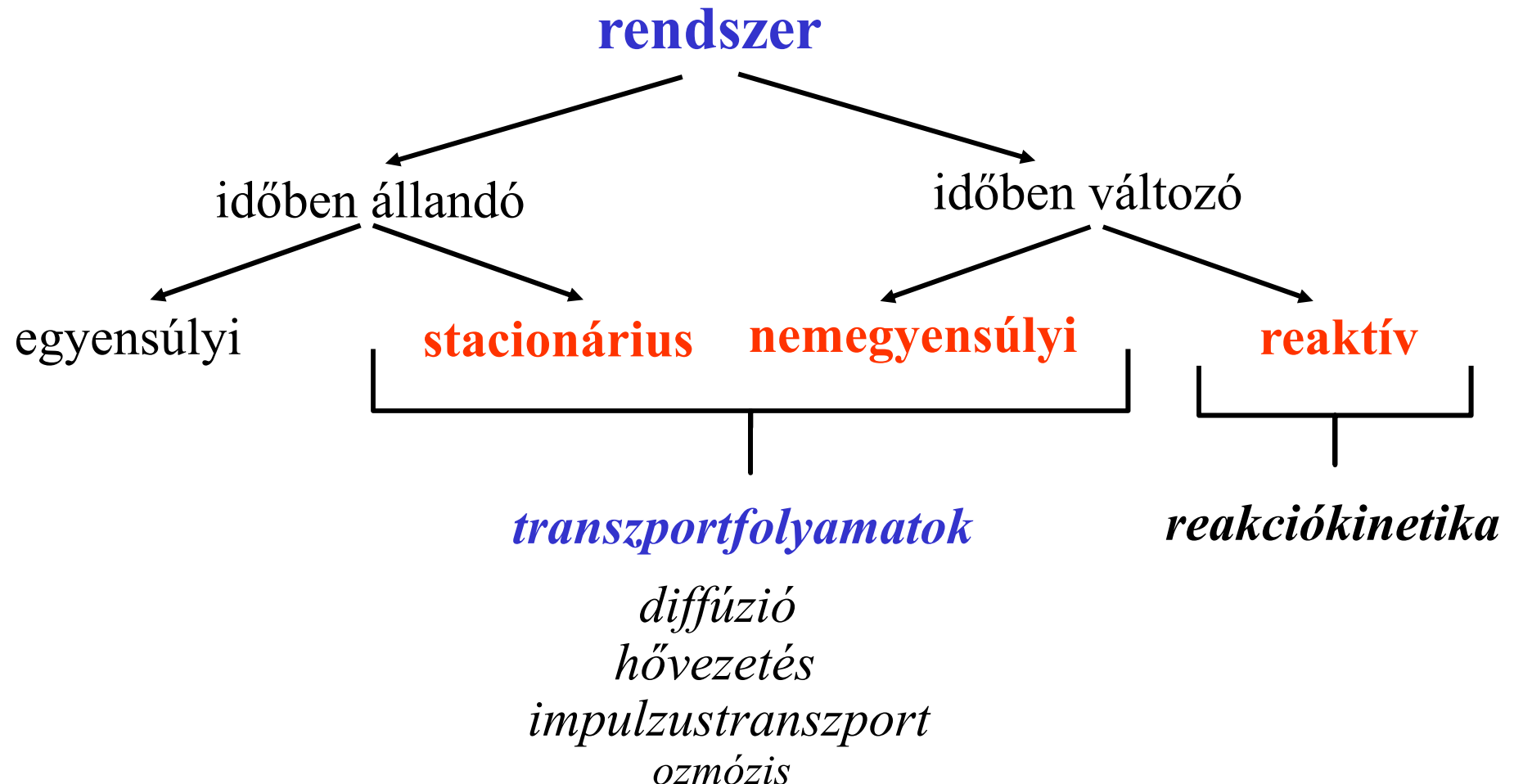
Biofizikai és Sugárbiológiai Intézet,
Nanokémiai Kutatócsoport



TRANSZPORTFOLYAMATOK biológiai rendszerekben

Zrínyi Miklós
egyetemi tanár, az MTA levelező tagja
mikloszrinyi@gmail.com

RENDSZER TIPUSOK



TRANSZPORTFOLYAMATOK



Sir Isac Newton
(1642-1727)



Jean-Baptiste-Joseph Fourier
(1768-1830)



Adolf Eugen Fick
(1829-1901)

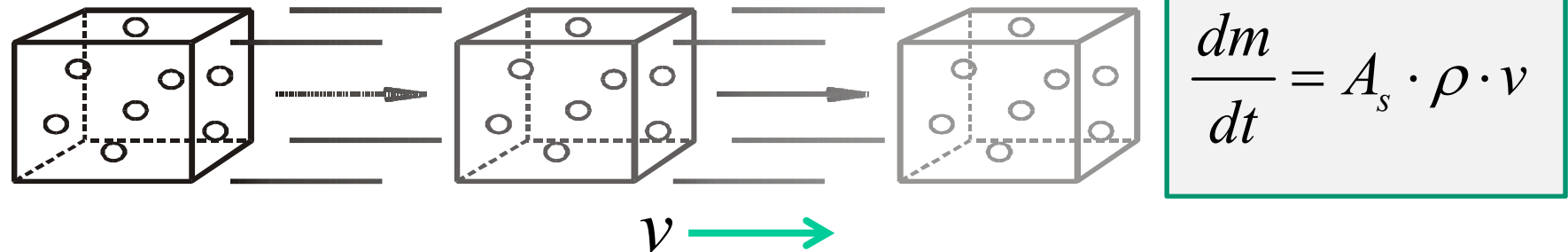


Lars Onsager
(1903-1976)

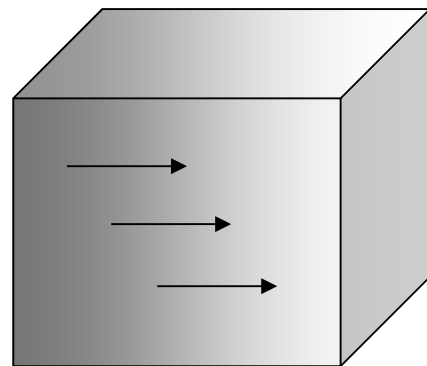
Azokat a folyamatokat, amelyek során **energia, anyag, töltés** vagy valamilyen **más extenzív jellegű mennyiség** egyik helyről egy másik helyre jut el, **transzportfolyamatoknak** nevezzük.

Hordozók: → részecskék (atomok, molekulák és ionok), amelyek anyagot, energiát, impulzust és töltést hordozhatnak,
→ elektronok, amelyek energiát, impulzust és töltést hordozhatnak,
→ fotonok, amelyek energiát hordozhatnak.

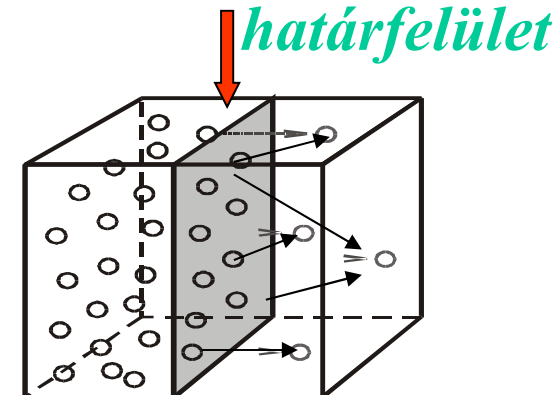
konvektív anyagtranszport: molekulahalmaz együttes elmozdulása



konduktív anyagtranszport: molekulák elmozdulása “nyugvó közegben”

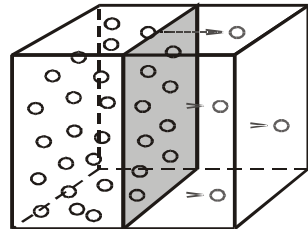


vezetéses transzport



átadásos transzport

Alapvető mennyiségek:



az extenzív mennyiség **árama**

intenzív mennyiség **hajtóereje**

áram

hajtóerő

komponensáram sűrűség:

$$j_n \left[\text{mol m}^{-2} \text{s}^{-1} \right]$$

$$\nabla c$$

energiaáram sűrűség:

$$j_U \left[\text{J m}^{-2} \text{s}^{-1} \right]$$

$$\nabla T$$

impulzusáram sűrűség:

$$j_i \left[\text{kg m}^{-1} \text{s}^{-2} \right]$$

$$\nabla v$$

töltésáram sűrűség:

$$j_Q \left[\text{Coulomb} \cdot \text{m}^{-2} \text{s}^{-1} \right]$$

$$\nabla \psi$$

diffúzió,

$\nabla = \text{gradiens}$

hővezetés,

$$\nabla = \frac{\partial}{\partial x} \mathbf{e}_x + \frac{\partial}{\partial y} \mathbf{e}_y + \frac{\partial}{\partial z} \mathbf{e}_z$$

folyadékok áramlása,

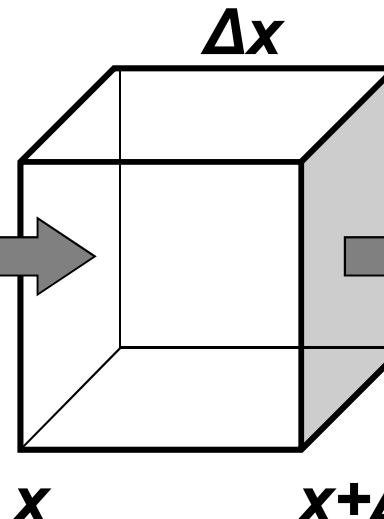
töltések áramlása,

átadásos transzport

Megmaradó extenzív mennyiségek globális és lokális mérlegegyenlete

$$\frac{dE}{dt} = I_{be} + I_{ki} = I$$

$$j_e(x)$$



$$j_e(x+\Delta x)$$

$$I = \left. \frac{dE}{dt} \right|_{(\Delta x)^3} = -(\Delta x)^2 [j_E(x + \Delta x) - j_E(x)]$$

$$\frac{d\rho_E}{dt} = \frac{1}{V} \frac{dE}{dt} = \frac{1}{(\Delta x)^3} \cdot \frac{dE}{dt}$$

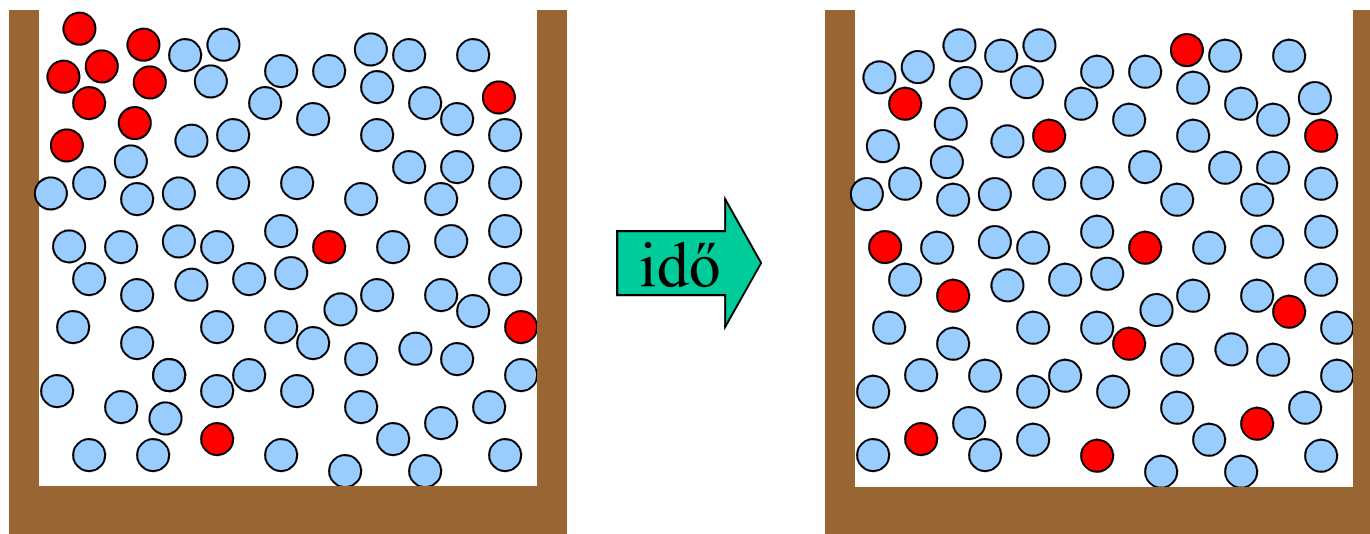
$$\frac{d\rho_E}{dt} = -\frac{j_E(x + \Delta x) - j_E(x)}{\Delta x}$$

Kontinuitási egyenlet:

$$\frac{\partial \rho_E}{\partial t} = -\nabla \cdot j_E = -\text{div } j_E$$

$$\nabla = \frac{\partial}{\partial x} \mathbf{e}_x + \frac{\partial}{\partial y} \mathbf{e}_y + \frac{\partial}{\partial z} \mathbf{e}_z$$

DIFFÚZIÓ



A mérlegegyenlet és a hajtóerő kapcsolata a diffúzió példáján (Fick törvények)

$$\frac{\partial c_A(\mathbf{r},t)}{\partial t} = -\nabla j_n = -\operatorname{div} \cdot j_n$$

$$\mathbf{j}_A = -D\nabla c_A$$

$$\frac{\partial c_A}{\partial t} = -\operatorname{div}(-D \operatorname{grad} c_A) = -\nabla(-D\nabla c_A)$$

Fick I

Fick II

$$\frac{\partial c_A}{\partial t} = D \cdot \operatorname{div} \cdot (\operatorname{grad} \cdot c_A) = D\nabla^2 c_A$$

$$\frac{\partial c}{\partial t} = D\nabla^2 c$$

1D

$$\left(\frac{\partial c}{\partial t} \right)_x = D \left(\frac{\partial^2 c}{\partial x^2} \right)_t$$

Laplace operátor: $\nabla^2 = \frac{\partial^2}{\partial x^2} + \frac{\partial^2}{\partial y^2} + \frac{\partial^2}{\partial z^2}$

Konduktív transzportfolyamatok egységes tárgyalása

	diffúzió	hővezetés	reológia
ÁRAM:	komponens áram <i>(tömeg áram)</i>	energia áram	impulzus áram
HAJTÓERŐ:	∇c	∇T	∇v
ÁRAMSŰRŰSÉG:	$j_n = -D\nabla c$	$j_Q = -k\nabla T$	$j_i = -\eta\nabla v$
VÁLTOZÁS:	$\frac{\partial c}{\partial t} = D\nabla^2 c$	$\frac{\partial T}{\partial t} = \alpha\nabla^2 T$	

Fick

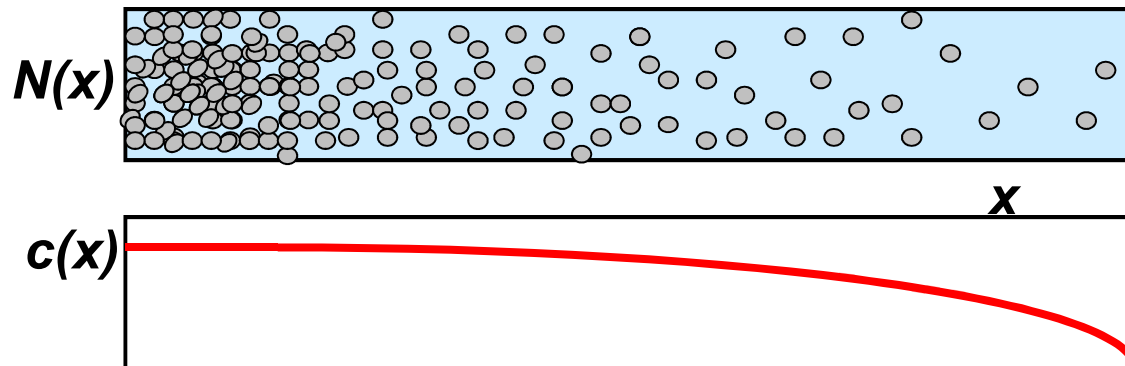
Fourier

Newton

Laplace operátor: $\nabla^2 = \frac{\partial^2}{\partial x^2} + \frac{\partial^2}{\partial y^2} + \frac{\partial^2}{\partial z^2}$

A diffúzió elmélete: Fick törvények

A diffúziós folyamatok mikroszkopikus leírása az N részecskeszámmal és a makroszkopikus leíráshoz használt $c(x)$ lokális koncentráció-eloszlással.



megoldás:
 $c(x, t)$
 $c(r, t)$

Fick I. törvénye:

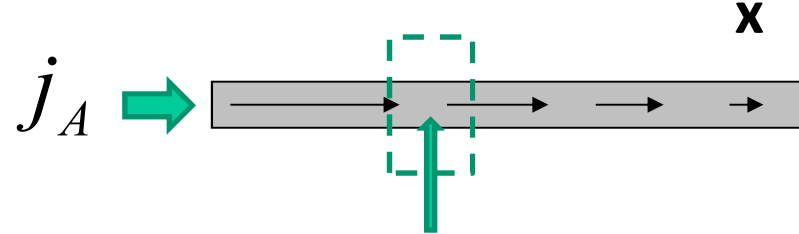
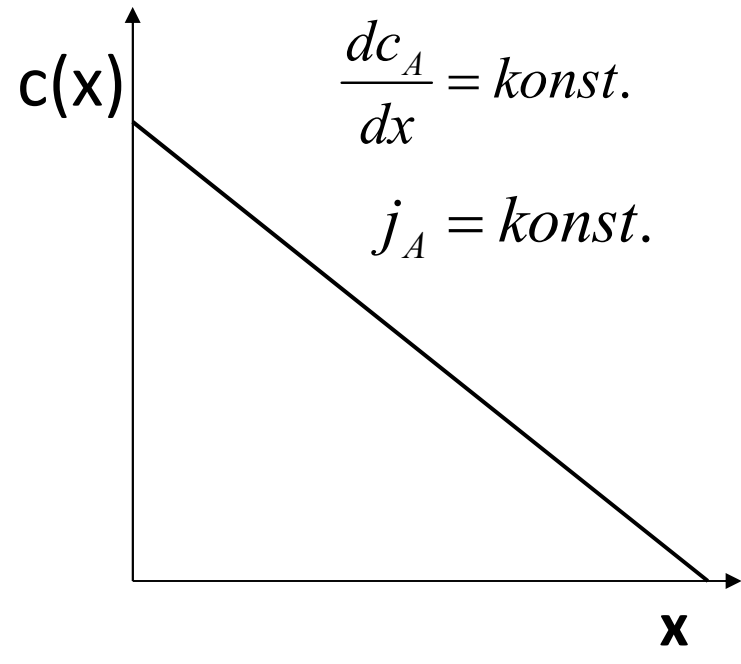
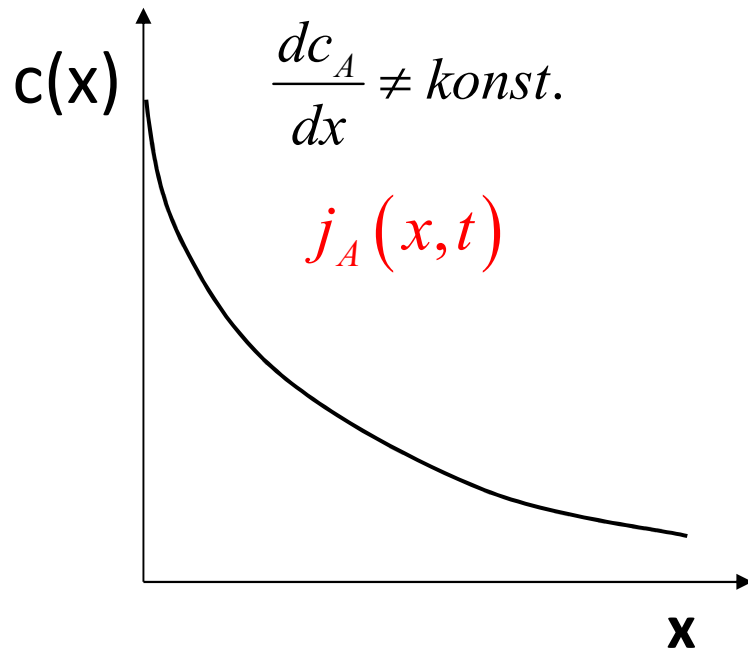
$$j_A = -D \cdot \text{grad}c_A$$
$$j_A = -D \nabla c_A$$

$$\xrightarrow{1D} j_A = -D \cdot \frac{dc_A}{dx}$$

- a diffúzió anyagáram a koncentráció térbeli változásának a meredekségével arányos,
- a diffúziós áram a csökkenő koncentráció irányába folyik,
- $D > 0$

Csak óvatosan, mert nem ∇c az igazi hajtóerő !

$$j_A = -D \cdot \frac{dc_A}{dx}$$



$$\frac{\Delta J_A}{\Delta x} = -\frac{\Delta c_A}{\Delta t}$$

stacionárius diffúzió
(időben állandó)

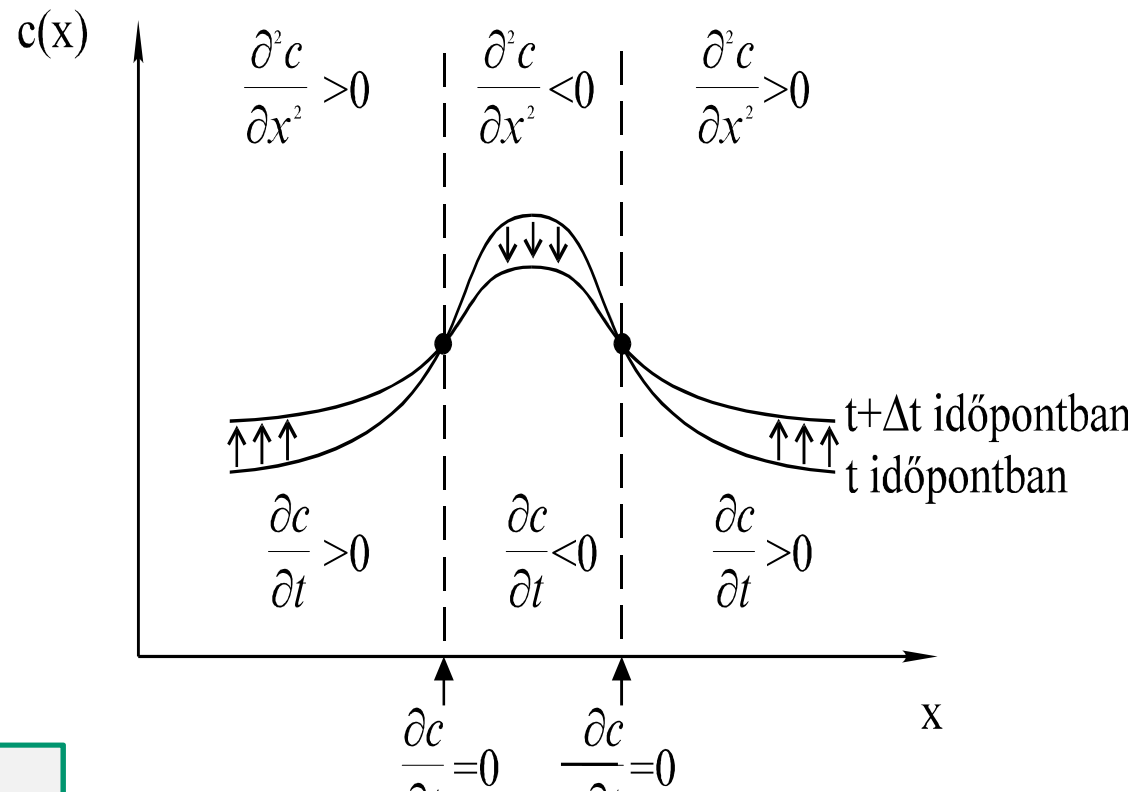
$$\frac{\Delta J_A}{\Delta x} = 0 \quad \rightarrow \quad \frac{\Delta c_A}{\Delta t} = 0$$

$$j_A = -D \cdot \frac{dc_A}{dx}$$

Fick I. törvénye

$$\left(\frac{\partial c_A}{\partial t} \right)_x = D \left(\frac{\partial^2 c_A}{\partial x^2} \right)_t$$

Fick II. törvénye



$$\frac{d}{dt} \cdot \left| \left(\frac{\partial^2 c}{\partial x^2} \right) \right| < 0$$

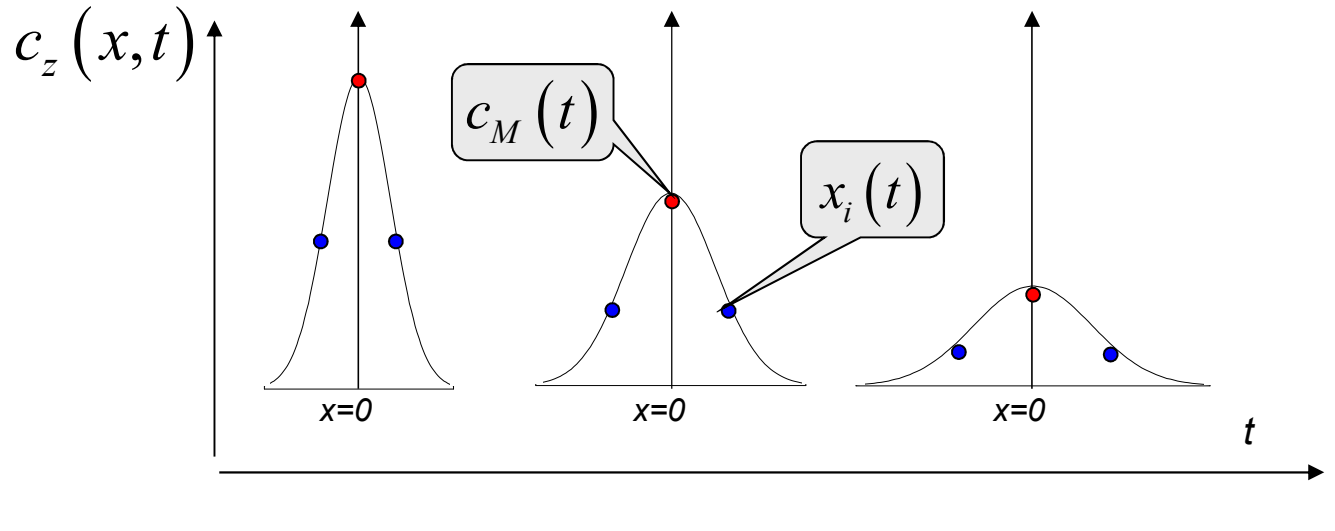
A diffúzió nem kedvez a mintázatok kialakulásának! Morfogenézis !?

Koncentráció-zóna egydimenziós szabad diffúziója

$$c_M(t) = \frac{c_o \delta_x}{(4\pi D)^{1/2}} \cdot t^{-1/2}$$

$$x_i(t) = \sqrt{2D} \cdot t^{1/2}$$

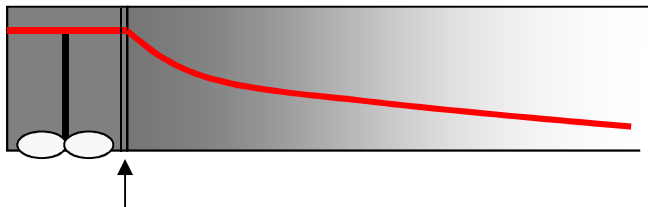
$$c_i(t) = c_M(t) \cdot \frac{1}{\sqrt{e}}$$



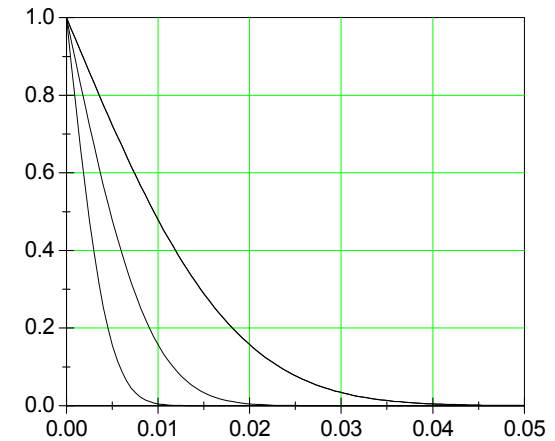
$$c_z(x, t) = \frac{n}{A_s (4\pi D t)^{1/2}} \cdot \exp\left(-\frac{x^2}{4Dt}\right) = \frac{c_o \delta_x}{(4\pi D t)^{1/2}} \cdot \exp\left(-\frac{x^2}{4Dt}\right)$$

Tisztán diffúziós jelenségeknél a karakterisztikus távolságok az idő négyzetgyökével arányosan változnak!

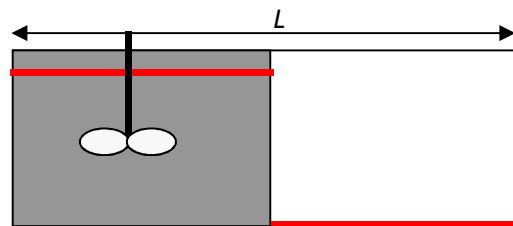
Egyirányú diffúzió végtelen hosszú térfélben



$$c_f(x,t) = c_o \left[1 - \operatorname{erf} \left(\frac{x}{2\sqrt{Dt}} \right) \right]$$

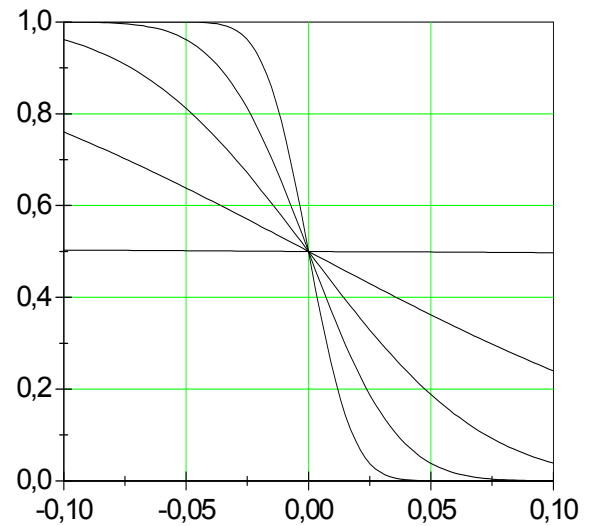


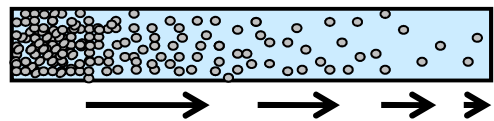
Egyirányú diffúzió véges rendszerben



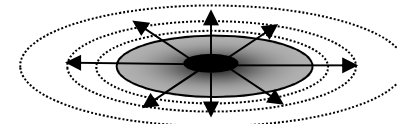
$$c_f(x,t) = \frac{c_o}{2} \left[1 - \operatorname{erf} \left(\frac{x}{\sqrt{4Dt}} \right) \right]$$

$$\operatorname{erf} \left(\frac{x}{2\sqrt{Dt}} \right) = \frac{2}{\sqrt{\pi}} \cdot \int_0^{\frac{x}{2\sqrt{Dt}}} e^{-s^2} ds$$





Fick II. törvénye



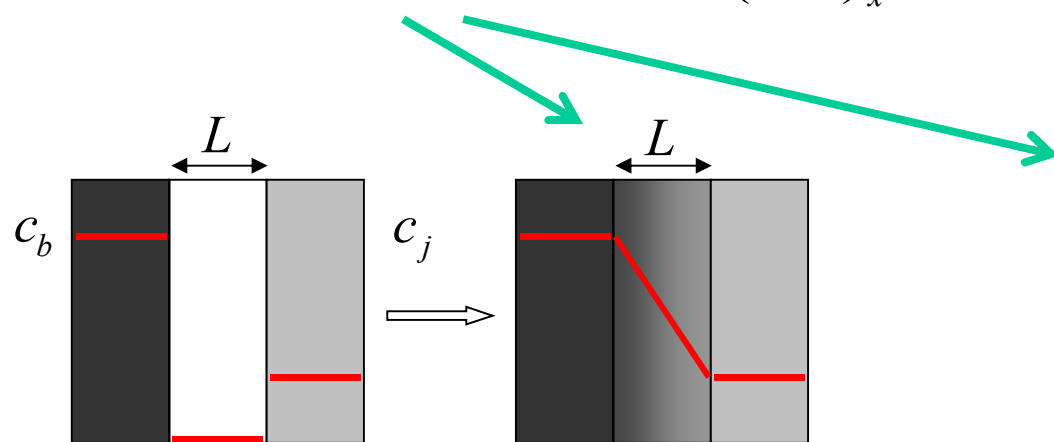
Egyirányú diffúziónál

$$\left(\frac{\partial c_A}{\partial t} \right)_x = D \left(\frac{\partial^2 c_A}{\partial x^2} \right)_t$$

Radiális diffúziónál

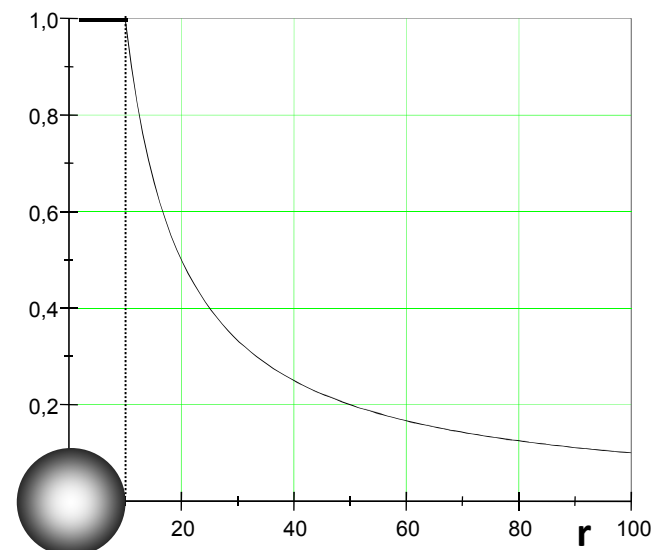
$$\left(\frac{\partial c}{\partial t} \right)_r = D \cdot \left(\frac{\partial^2 c}{\partial r^2} + \frac{2}{r} \cdot \frac{\partial c}{\partial r} \right)$$

Stacionárius diffúzió: $\left(\frac{\partial c_A}{\partial t} \right)_x = 0$



$$c(x) = -\frac{c_b - c_j}{L} x + c_b$$

lineáris

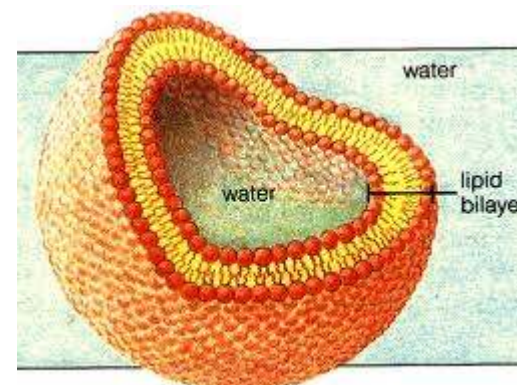
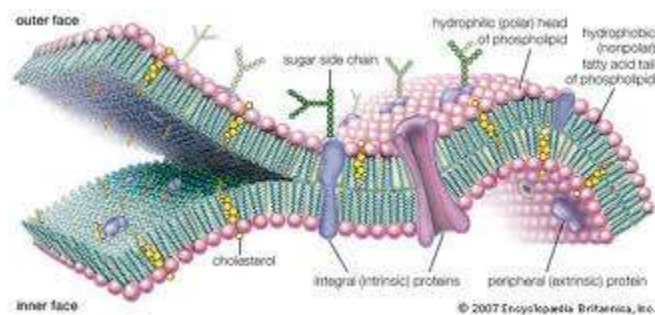
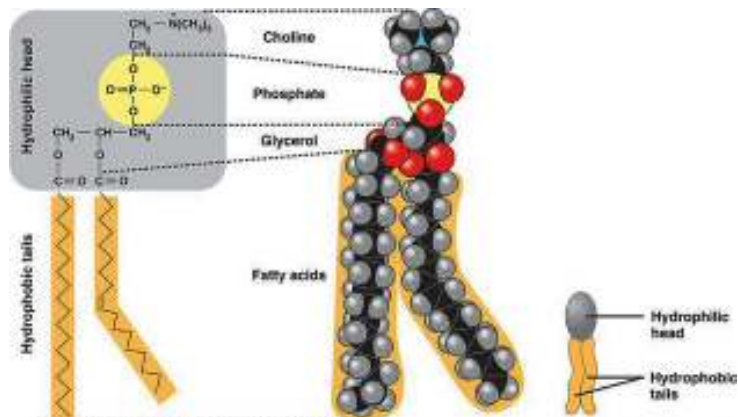
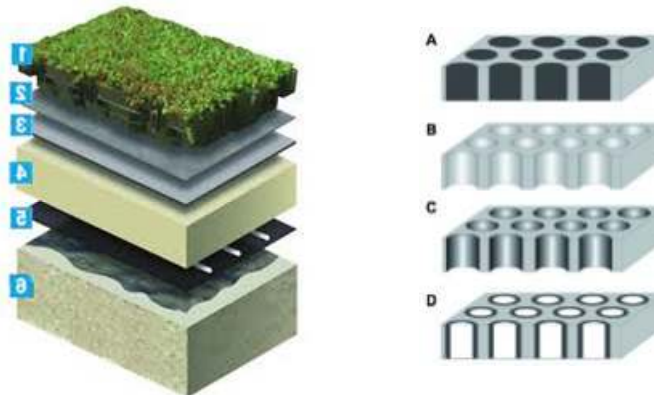
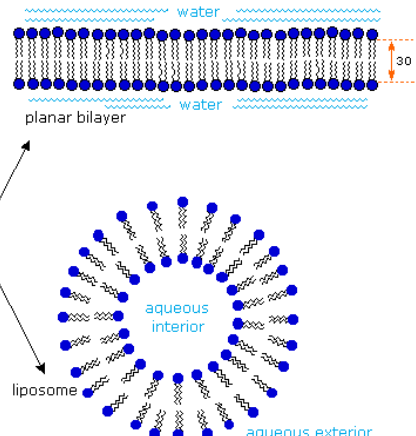
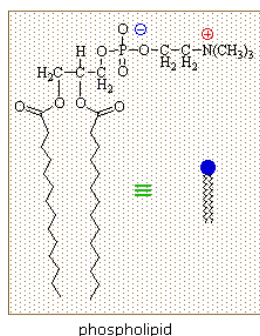


nem lineáris

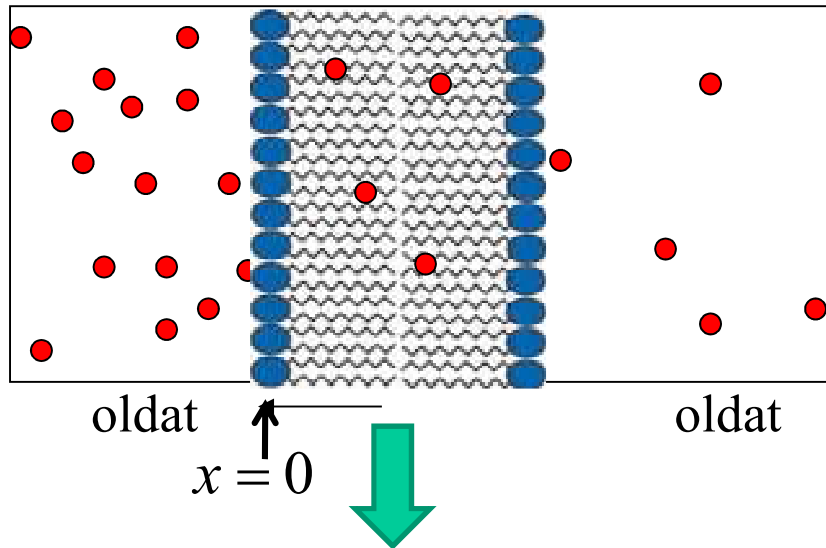
Membránok

membrán

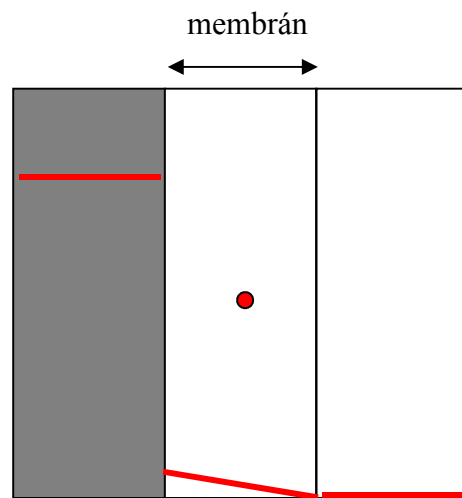
szintetikus
biológiai



Megoszlás a membrán és az oldat között



Eltérő oldhatóság K_m

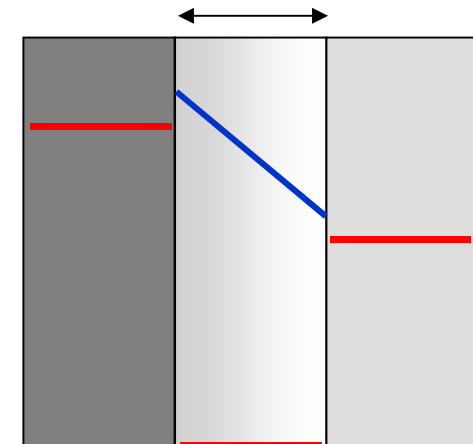


$$K_m \ll 1$$

$$K_m = \frac{c_{dh}}{c_d} \quad \text{Megoszlási hányados}$$

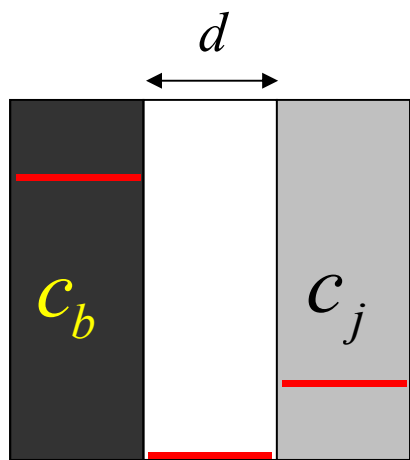
$$c_m(x=0) = K_m \cdot c_o(x=0).$$

$$c(x) = -K_m \frac{c_b - c_j}{d} x + K_m \cdot c_b$$

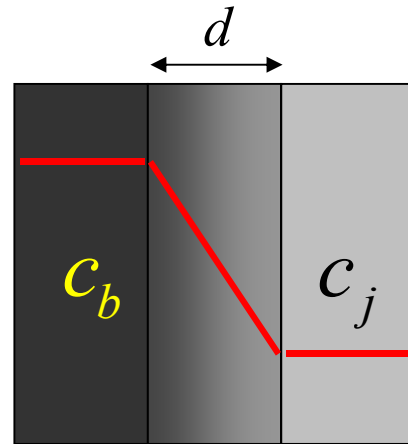


$$K_m > 1$$

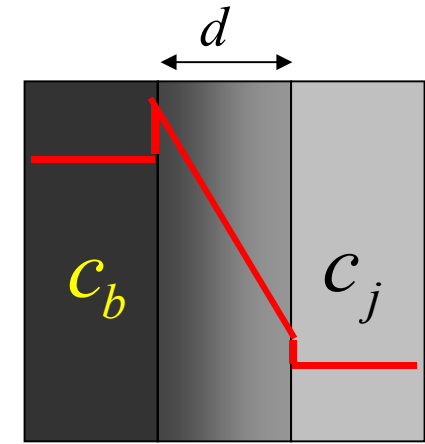
Koncentráció eloszlás stacionárius diffúzió nál



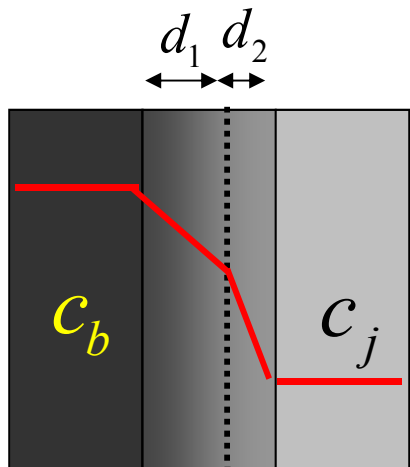
$$c_h = 0 \text{ vagy } K_m = 0$$



$$K_m = 1$$



$$K_m > 1$$



$$\begin{aligned} \mathbf{j}_{n,1} &= \mathbf{j}_{n,2} \\ -D_1 (\mathbf{grad} \cdot \mathbf{c})_1 &= -D_2 (\mathbf{grad} \cdot \mathbf{c})_2 \end{aligned}$$

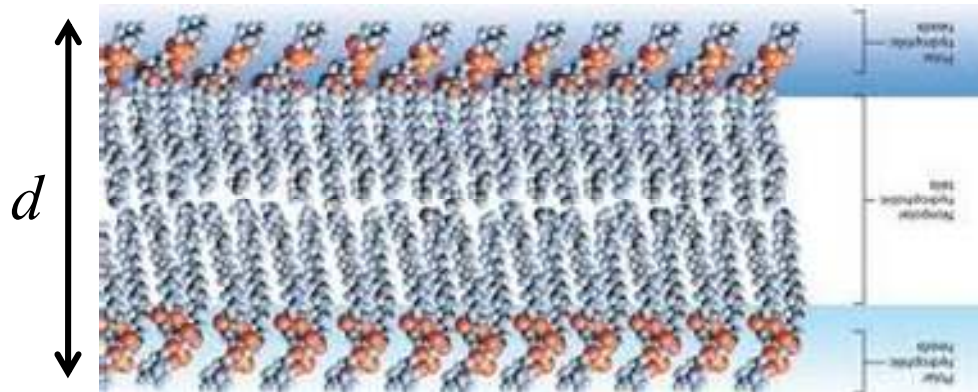
$$D_1 > D_2$$

Többrétegű membrán esetén

$$K_m = 1$$

Membrán permeabilitás:

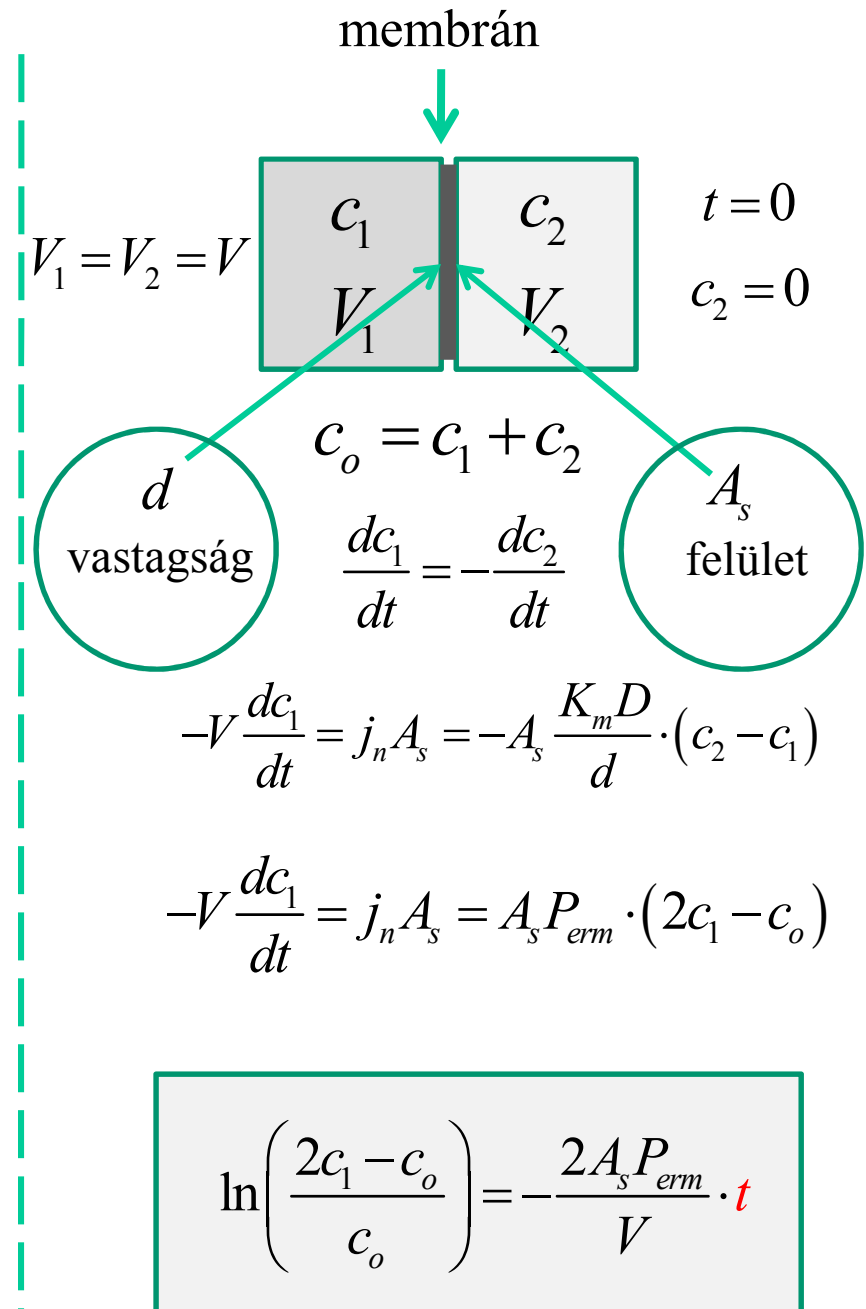
P_{erm}



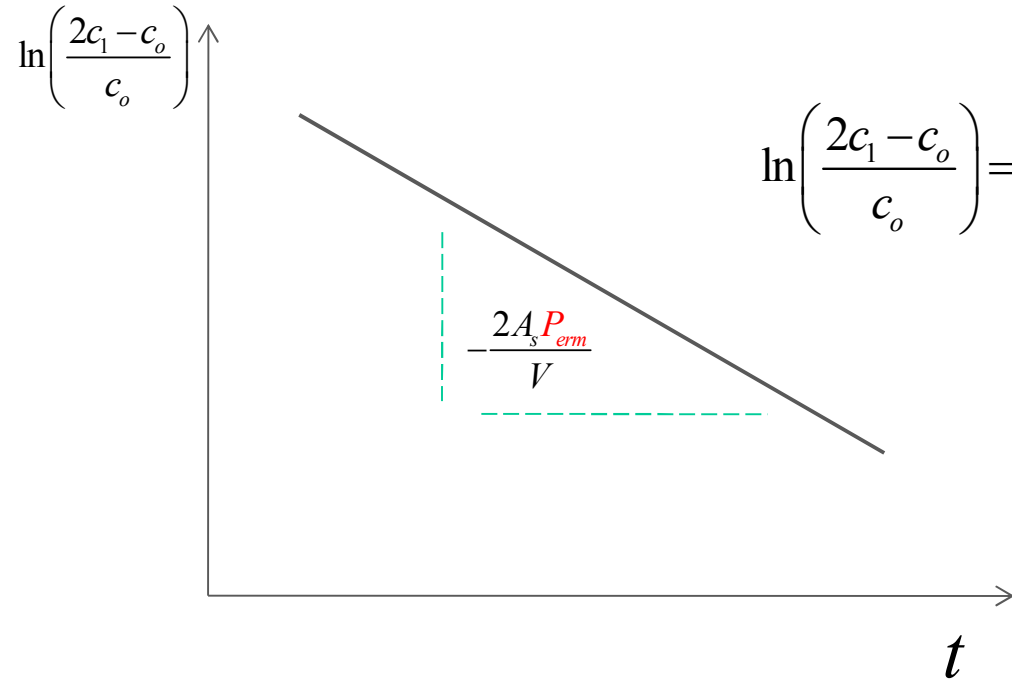
$$j_n = -D \nabla c \quad \nabla c = \frac{K_m (c_j - c_b)}{d} = -\frac{K_m \Delta c}{d}$$

$$P_{erm} = \frac{j_n}{\Delta c} = \frac{K_m D}{d}$$

K_m : megoszlási hányados

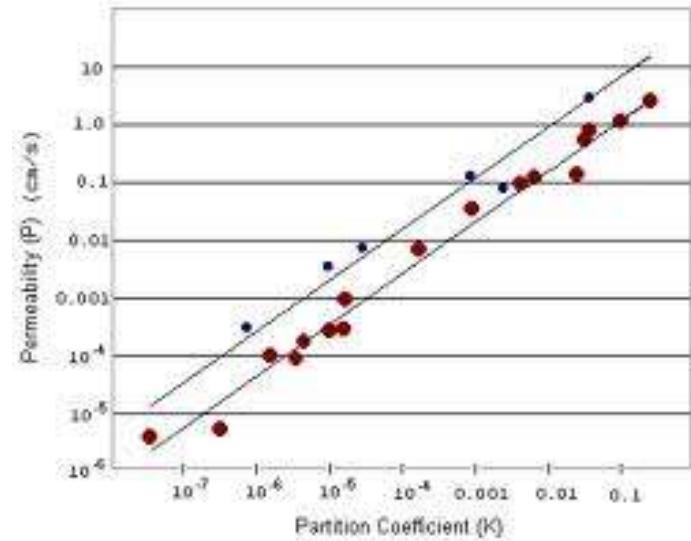


A permeabilitás kísérleti meghatározása



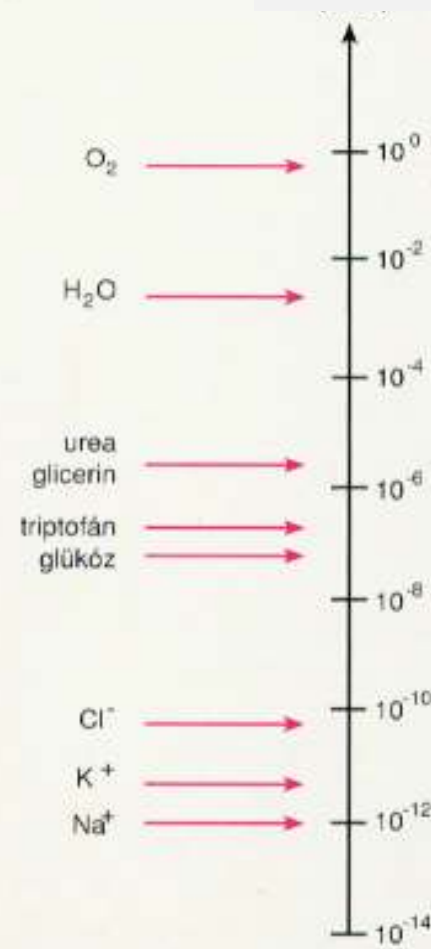
$$\ln\left(\frac{2c_i - c_o}{c_o}\right) = -\frac{2A_s P_{erm}}{V} \cdot t$$

$$P_{erm} \propto K_m \cdot D$$



$P_{erm} = 10^{-3} \mu m s^{-1}$ glükóz permeabilitása mesterséges membránon

Permeabilitás / $cm \cdot s^{-1}$



$$P_{erm} \propto D$$

Méret és diffúziós együttható vízbe $25\text{ }C^\circ$ -on.

anyag	M	R/nm	$10^9 D / m^2 s^{-1}$
víz	18	0,15	2,0
oxigén	32	0,2	2,1
karbamid	60	0,4	1,38
glükóz	180	0,5	0,7
hemoglobin	68000	3,1	0,069
kollagén	345000	31	0,007
vírus		50	$5,0\text{ }cm^2 s^{-1}$
baktérium		1000	$0,5\text{ }cm^2 s^{-1}$
sejt		10000	$0,05\text{ }cm^2 s^{-1}$

$$D = \frac{k_B T}{6\pi\eta R}$$

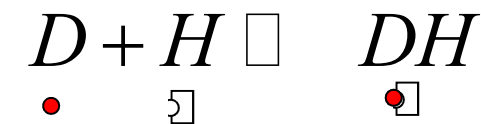
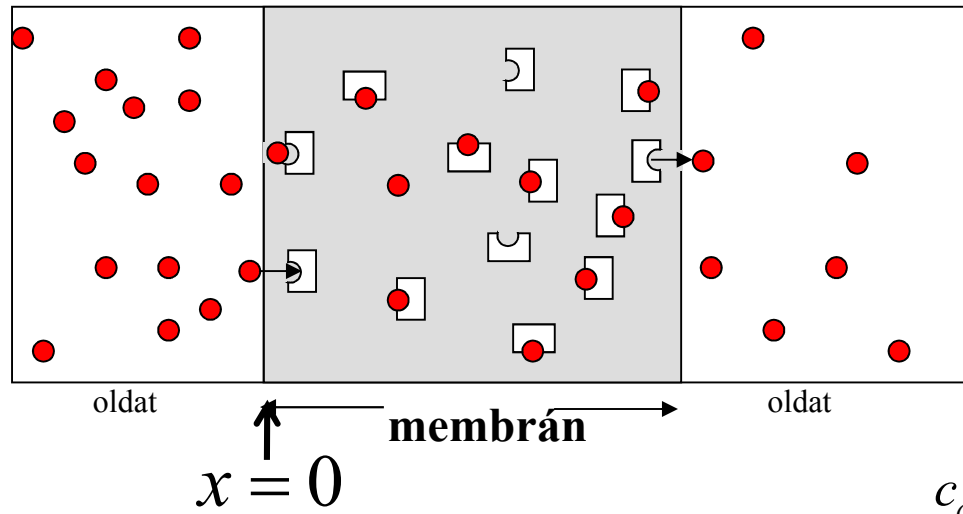
$$D\eta = \frac{k_B T}{6\pi} \cdot \frac{1}{R}$$

Stokes –Einstein összefüggés

Közvetített diffúzió

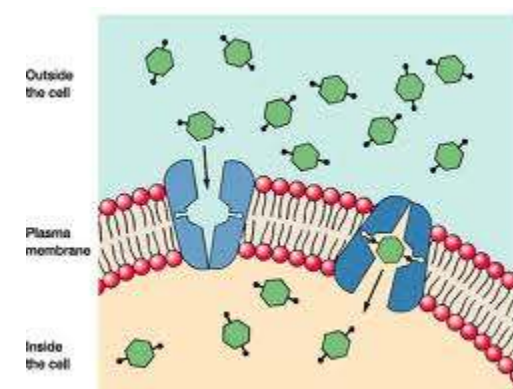
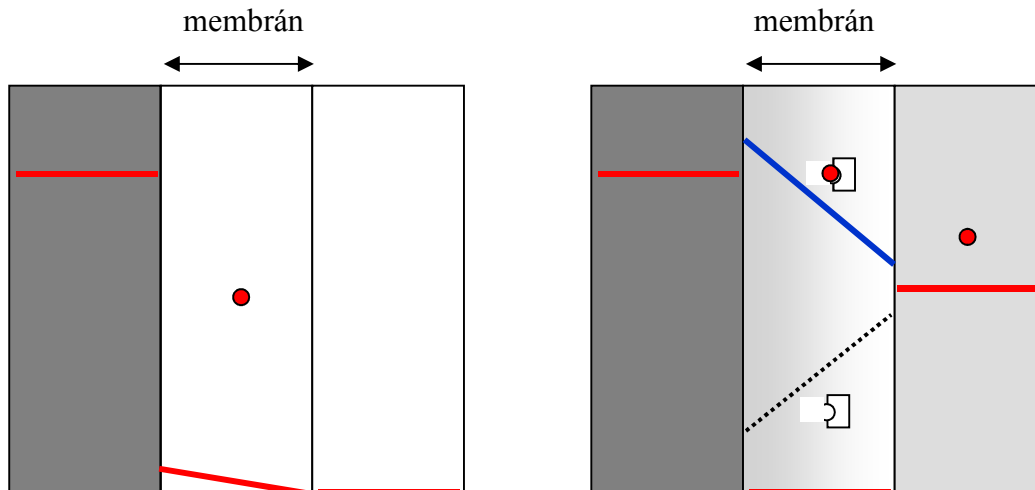
(Facilitated diffusion)

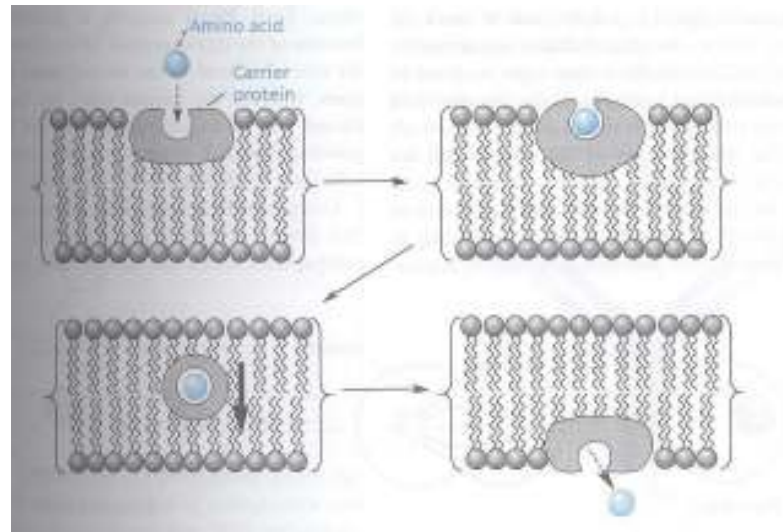
- diffundáló molekula ⊓ komplexképző ⊕ molekulakomplex
- c_d c_h c_{dh}



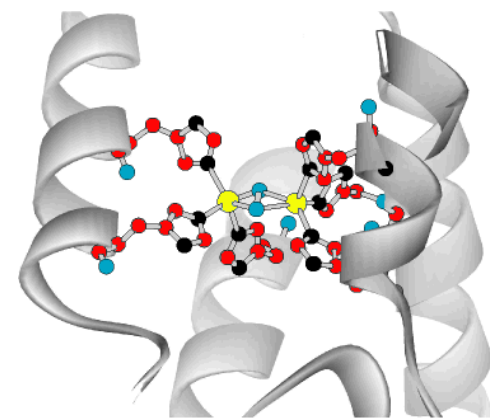
$$K_k = \frac{[DH]}{[D][H]}$$

$$c_{dh}(x=0) = K_k \cdot c_d(x=0) \cdot c_h(x=0)$$





3-ketoacyl-(acyl-carrier-protein)

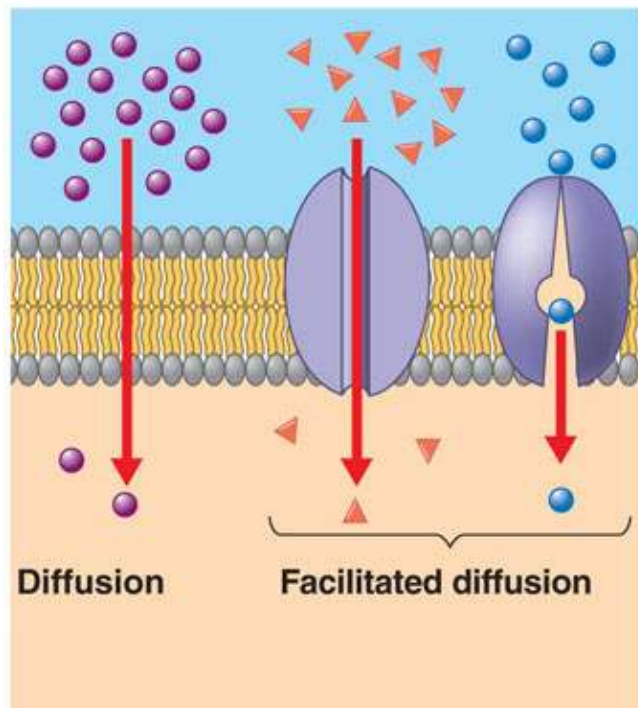


Key:
● carbon ● oxygen ● copper ● nitrogen

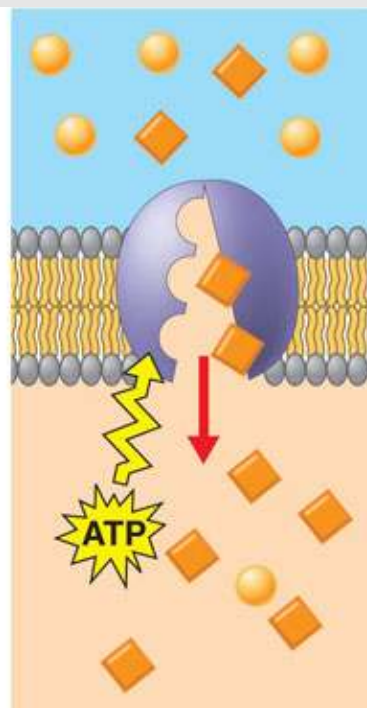
aktív helye az oxyhemocyanin oxigént szállító proteinnek

Aktív és passzív transzport

Passzív transzport



Aktív transzport



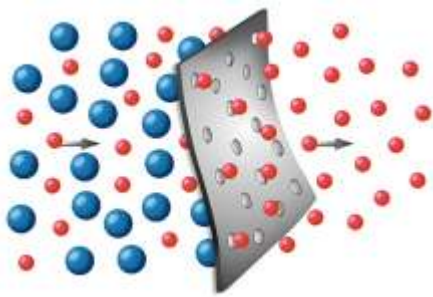
Anyagtranszport a koncentráció gradiens irányában!

A diffúziós áram a **növekvő** koncentráció irányába folyik.

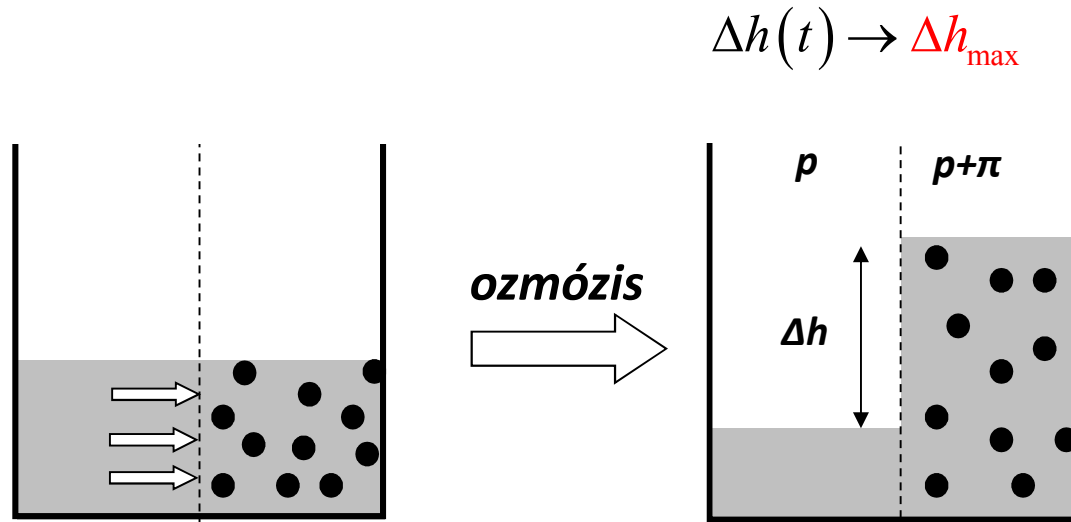
(nátrium – kálium pumpa)

A diffúziós áram a **csökkenő** koncentráció irányába folyik.

Konvektív és konduktív anyagtranszport transzport: ozmózis



Féligáteresztő membrán



Termodinamikai egyensúlyban

$$\Delta\mu_1(x_2) = -\pi V_1$$

Hig oldat

$$\pi_{id}(x_2) = \frac{RT}{V_1} x_2$$

$$\pi_{id} = \frac{RT}{M_2} c_2$$

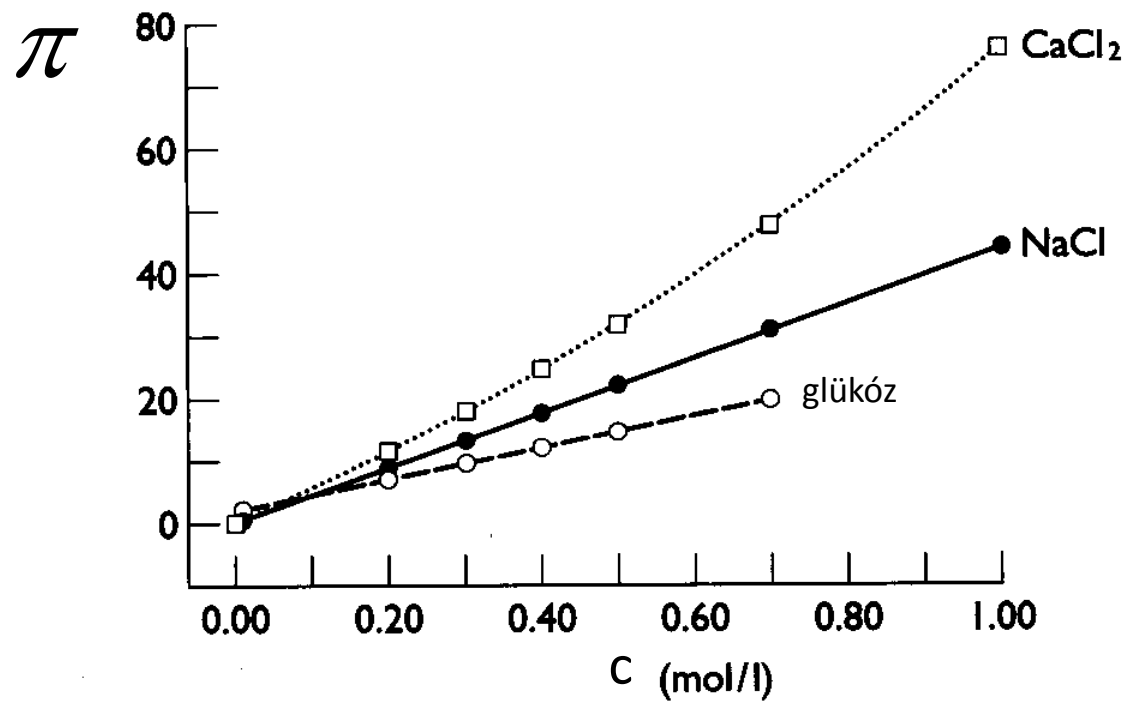
$$\Delta\mu_1 = RT \ln x_1 = RT \ln(1-x_2) \equiv -RTx_2 - \frac{RT}{2}x_2^2$$

Ozmózis=kolligatív tulajdonság

$$n = n_0 \alpha \nu + n_0 (1 - \alpha) = n_0 [1 + \alpha(\nu - 1)]$$

$$\pi = \frac{RT}{M_2} c_2 \cdot i$$

$$i = [1 + \alpha(\nu - 1)]$$



Izotóniás oldatok: ha két különböző oldat ozmózisnyomása egyező

Sejtek belsejével,
illetve a vérrel izotóniás
oldatok

3,8 %-os Na-citrát oldat,
5,5 %-os glükóz oldat,
0,87 %-os NaCl oldat.

Ha a koncentráció kisebb, mint az izotóniás oldaté, akkor:

víz → sejt **hipotóniás oldat**

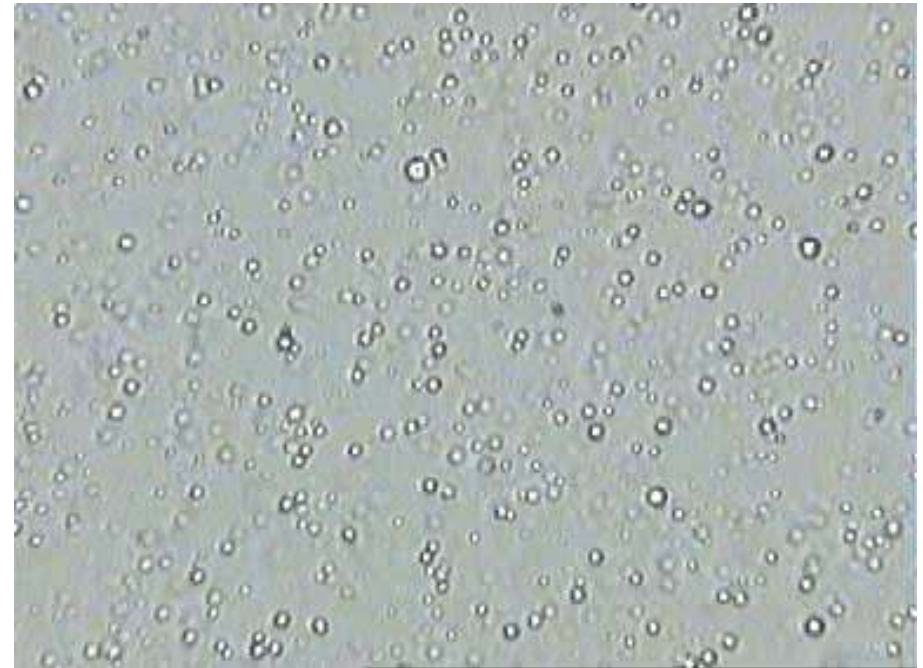
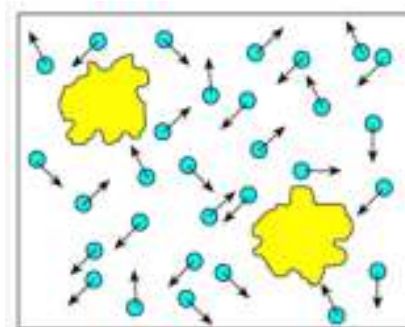
Ha a koncentráció nagyobb, mint az izotóniás oldaté, akkor:

környezet ← sejtvíz **hipertóniás oldat**

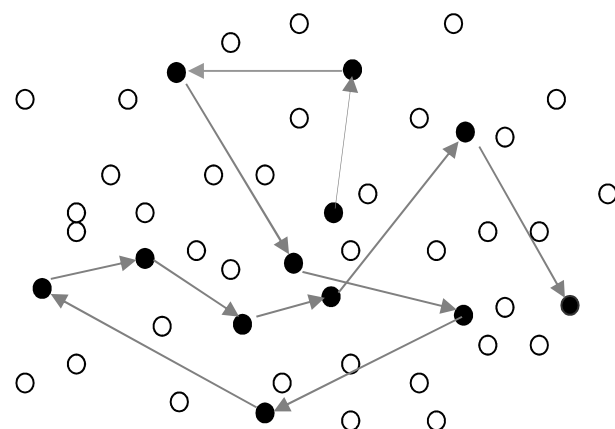
A diffúzió molekuláris elmélete: Brown mozgás



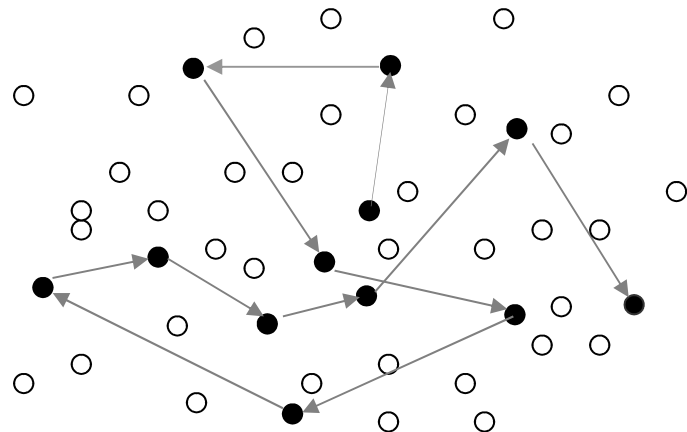
Robert Brown
(1773-1858)



Zsír cseppek tejben (méret: 0.5 - 3 μm)



A diffúzió molekuláris elmélete

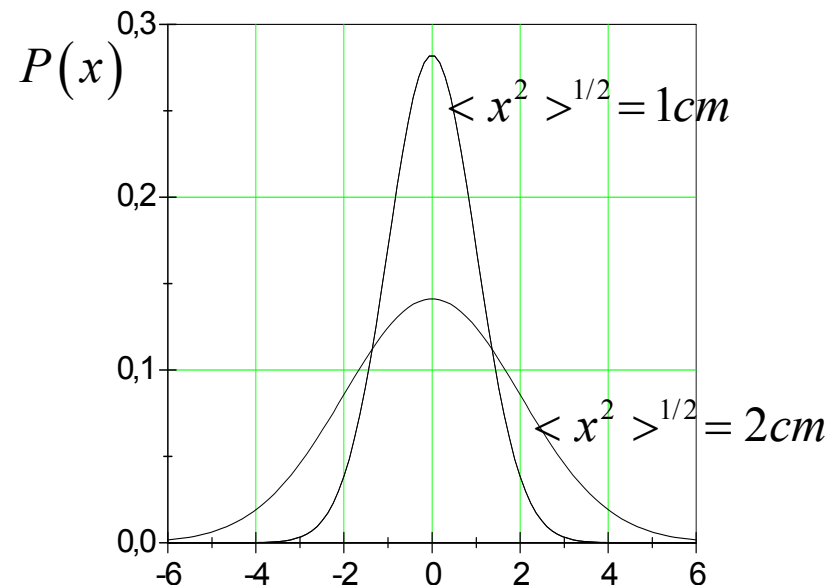


<i>egyirányú</i>	$\langle x^2 \rangle = 2Dt$
<i>laterális</i>	$\langle \sigma^2 \rangle = 4Dt$
<i>radiális</i>	$\langle r^2 \rangle = 6Dt$

Brown mozgás, bolyongás

$$D = \frac{k_B T}{\xi} = \frac{k_B T}{6\pi\eta R}$$

Stokes-Einstein összefüggés



Ionok diffúziója

Ionok individuális diffúziós együtthatója nem határozható meg!

$$j_i = -D_i \cdot \left(\frac{\Delta c_i}{\Delta x} + c_i \frac{z_i F}{RT} \frac{\Delta \psi}{\Delta x} \right) \quad \text{Nernst-Planck egyenlet}$$

$$c_- = c_+ \quad \frac{\Delta c_-}{\Delta x} = \frac{\Delta c_+}{\Delta x} \quad j_+ = j_- \quad \text{elektroneutralitás}$$

$$j_+ = -\frac{2D_+ D_-}{D_+ + D_-} \cdot \frac{\Delta c_+}{\Delta x} = -D_\pm \cdot \frac{\Delta c_+}{\Delta x}$$



$$D_\pm = \frac{D_+ D_- (c_+ z_+^2 + c_- z_-^2)}{D_+ c_+ z_+^2 + D_- c_- z_-^2}$$

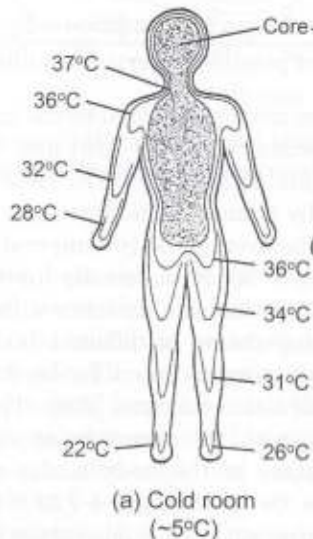
$$D_\pm = \frac{2}{\frac{1}{D_+} + \frac{1}{D_-}}$$

(1:1)
elektrolit

A közepes diffúziós együttható értéke az ionok töltésszámán kívül az ionkoncentrációtól is függ !

A BELSŐ ENERGIA (*HŐ*) TRANSZPORTJA

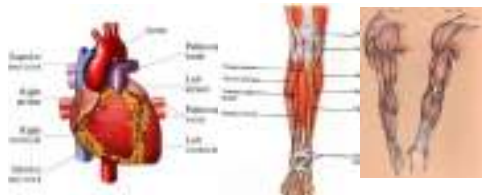
Hol keletkezik a nyugalmi metabolikus hő?



<i>agyvelő</i>	25%
<i>szív</i>	15%
<i>vázizom</i>	25%
<i>hasi zsigerek</i>	25%
<i>vese</i>	6%
<i>bőr</i>	4%

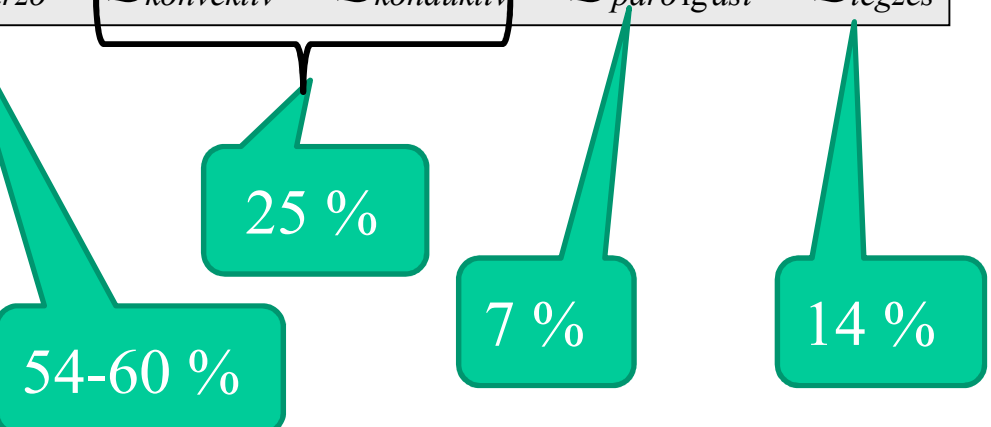
A szervezeten belül a hőmérséklet eloszlás nem homogén.

mag köpeny



Hol veszik el a metabolikus hő?

$$Q_{\text{veszteség}} = Q_{\text{sugárzó}} + Q_{\text{konvektív}} + Q_{\text{konduktív}} + Q_{\text{párolgási}} + Q_{\text{légzés}}$$



Testhőmérséklet szabályozás

metabolizmus  hőveszteség

T=28 °C fibrilláció

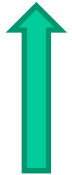
T=30 °C Hőmérséklet szabályozás felborul -

T=33 °C Tudat vesztés

T=37 °C

T=41 °C Központi idegrendszer -

T=42 °C Fehérjék denaturálódnak



testhőmérséklet

egységnnyi
felület

Hősugárzás

Wien törvény: $R = \varepsilon\sigma T^4$ ε : emisszió



Stefan-Boltzmann konst.: $\sigma = 5,67 \cdot 10^{-8} \text{ W/m}^2\text{K}^4$

$$-\frac{\Delta Q_{\text{sugárzó}}}{\Delta t} = R \cdot A_s = \varepsilon\sigma T^4 \cdot A_s \quad A_s = 1,85 \text{ m}^2 \text{ átlagos felület}$$

$$\varepsilon \approx 1 \text{ emberi bőr}$$

$$\frac{\Delta Q_{\text{sugárzó}}}{\Delta t} = \frac{\Delta Q}{\Delta t} \Big|_{\text{nyereség}} - \frac{\Delta Q}{\Delta t} \Big|_{\text{veszteség}}$$

$$R = \varepsilon\sigma \left(T_{\text{test}}^4 - T_{\text{környezet}}^4 \right)$$

$$\varepsilon_1 = \varepsilon_2 = \varepsilon$$

anyag	emisszió
emberi bőr	0,95 – 0,99
fa	0,99
beton	0,95
tégla	0,92



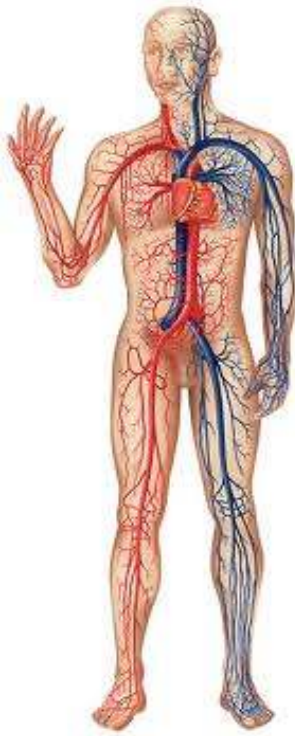
Konvektív hővezetés (1)

$$-\frac{1}{A_s} \frac{\Delta Q_{konvektív}}{\Delta t} = h_c \cdot (T_{bőr} - T_{levegő})$$

h_c : egységnnyi felületre vonatkozó konvektív hővezetési tényező
 W/m^2C°

Szél sebessége [m/s]	$h_c [W/m^2C^\circ]$
0,1	2,6
0,6	6,4
2,0	11,7
4,0	16,6

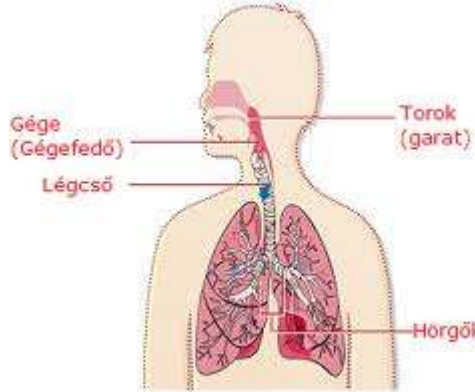
Szélben: $h_c = 10,45 - v + 10v^{1/2}$ v :áramló levegő sebesség: m/sec
 $(közelítés)$



Testen belüli hővezetés (2)

(*Test és vér közötti hővezetés*)

$$-\frac{1}{A_s} \frac{\Delta Q_{véráram}}{\Delta t} = h_c \cdot (T_{vér} - T_{testrész})$$



Hőveszteség párolgással (1) légzés

Ki- és belégzés térfogata nyugalomban: 500 ml

Ki- és belégzés frekvenciája nyugalomban: 12 – 14 / perc

$$I_{levegő} = \frac{\Delta V_l}{\Delta t} \approx 0,1 \text{ } l \cdot s^{-1}$$

$$-\frac{\Delta Q}{\Delta t} = \rho_l c_{p,l} (T_{ki} - T_{be}) \frac{\Delta V_l}{\Delta t}$$



V_{izz}

Hőveszteség párolgással (2) *izzadás*

Víz párolgáshője: $\Delta h_{parolgás} = 2,25 \text{ kJ/g}$

$$-\frac{\Delta Q}{\Delta t} = \Delta h_{parolgás} \cdot (\rho_{lev}^{ki} - \rho_{lev}^{be}) \frac{\Delta V_{izz}}{\Delta t}$$

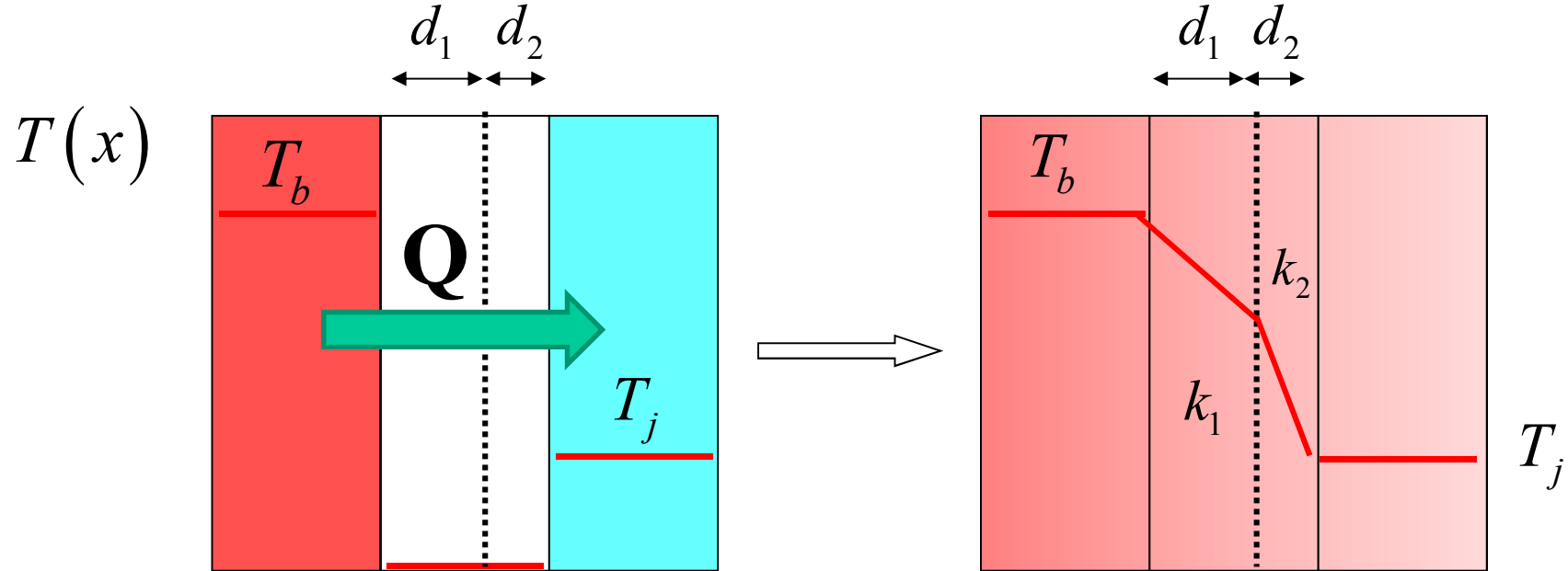
Konduktív hővezetés: Fourier törvények

$$j_Q = -k_T \frac{\Delta T}{\Delta x} \quad \frac{\Delta T}{\Delta t} = \alpha T(x) \text{függvény görbülete} \quad \alpha = \frac{k_T}{\rho \cdot C_p} \quad \frac{\partial T}{\partial t} = \alpha \nabla^2 T$$

anyag	T/K	$k_T / Wm^{-1}K^{-1}$	$\alpha / m^2 s^{-1}$	$c_p / kJkg^{-1}K^{-1}$
levegő	300	0,025	$2,11 \cdot 10^{-5}$	1,006
víz	300	0,609	$1,5 \cdot 10^{-7}$	4,186
zsír	298	0,21	$0,69 \cdot 10^{-7}$	3,258
vér	298	0,642	$1,76 \cdot 10^{-7}$	3,889
bőr	310	0,442	$1,19 \cdot 10^{-7}$	3,471

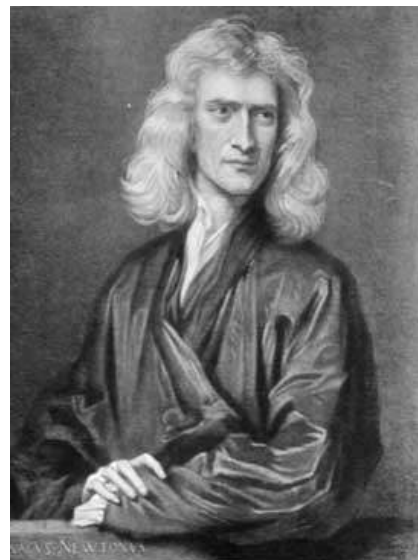
$$\frac{\Delta Q_{hővezetés}}{\Delta t} = -k_T \cdot A_s \cdot \frac{\Delta T}{\Delta x}$$

Stacionárius hővezetés rétegek között

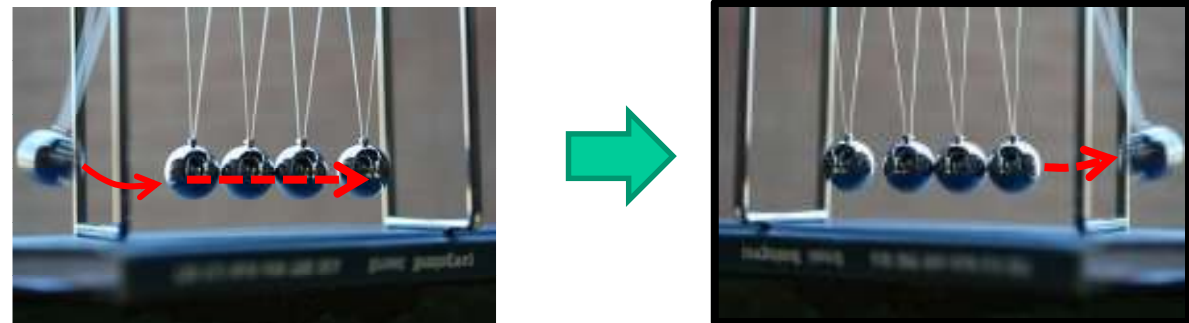


$$j_U = -k_1 \frac{\Delta T}{d_1} = -k_2 \frac{\Delta T}{d_2} = \text{konst.} \rightarrow k_1 > k_2$$

REOLÓGIA



(konduktív impulzustranszport)

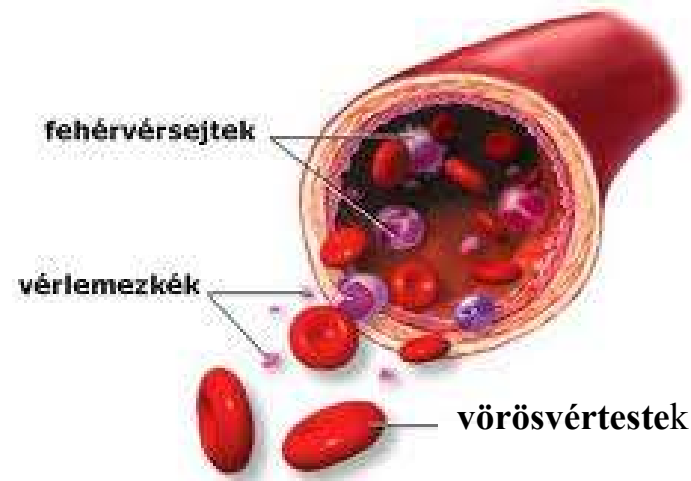


(Rheos logos = folyástan)

Sir Isac Newton (1642-1727)



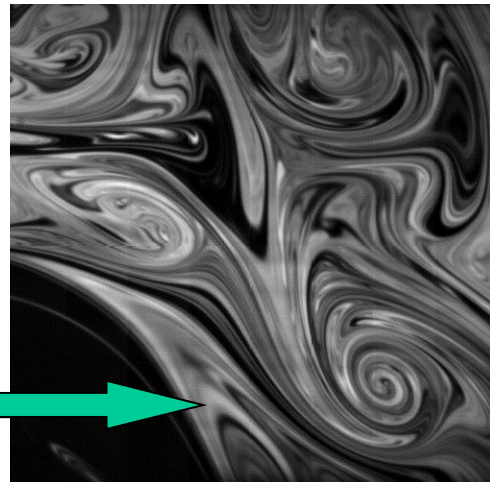
Hemoreológia



Az áramlás típusa

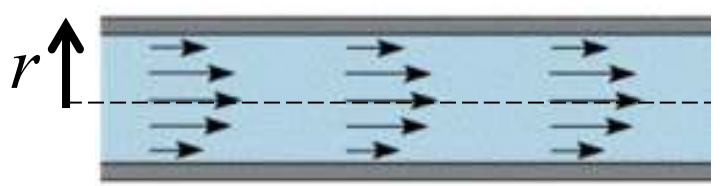


turbulens



Reynolds szám

$$v_{kr} = R_e \cdot \frac{\eta}{\rho \cdot r}$$



lamináris

$$R_e < 1160(?)$$

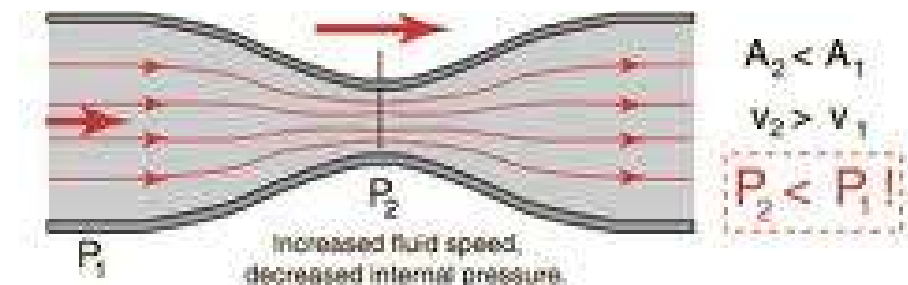
Folyás

lamináris,
turbulens,
összenyomható,
összenyomhatatlan,
„száraz”,
viszkózus,
állandó,
pulzáló,
rotáló.



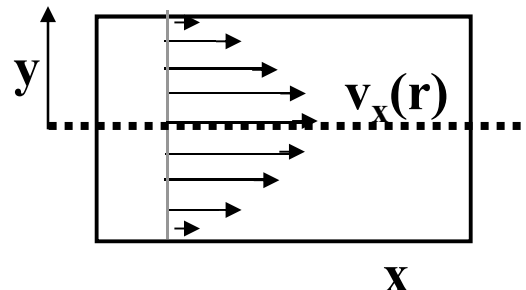
Bernoulli egyenlet

$$p + \frac{1}{2} \rho v_x^2 + \rho g h = \text{konst.}$$



A keringési rendszer (cardiovascularis) többségében **az áramlás lamináris**. Kivétel a szívből az aortába kilökődő vér áramlása.

A reológia alapösszefüggése. Newton egyenlet



$$j_i = -\eta \frac{\Delta v_x}{\Delta y}$$



$$\tau = \eta \frac{\Delta v_x}{\Delta y}$$

Kapcsolat a nyírófeszültség és a sebesség gradiens között:

Nyírófeszültség:

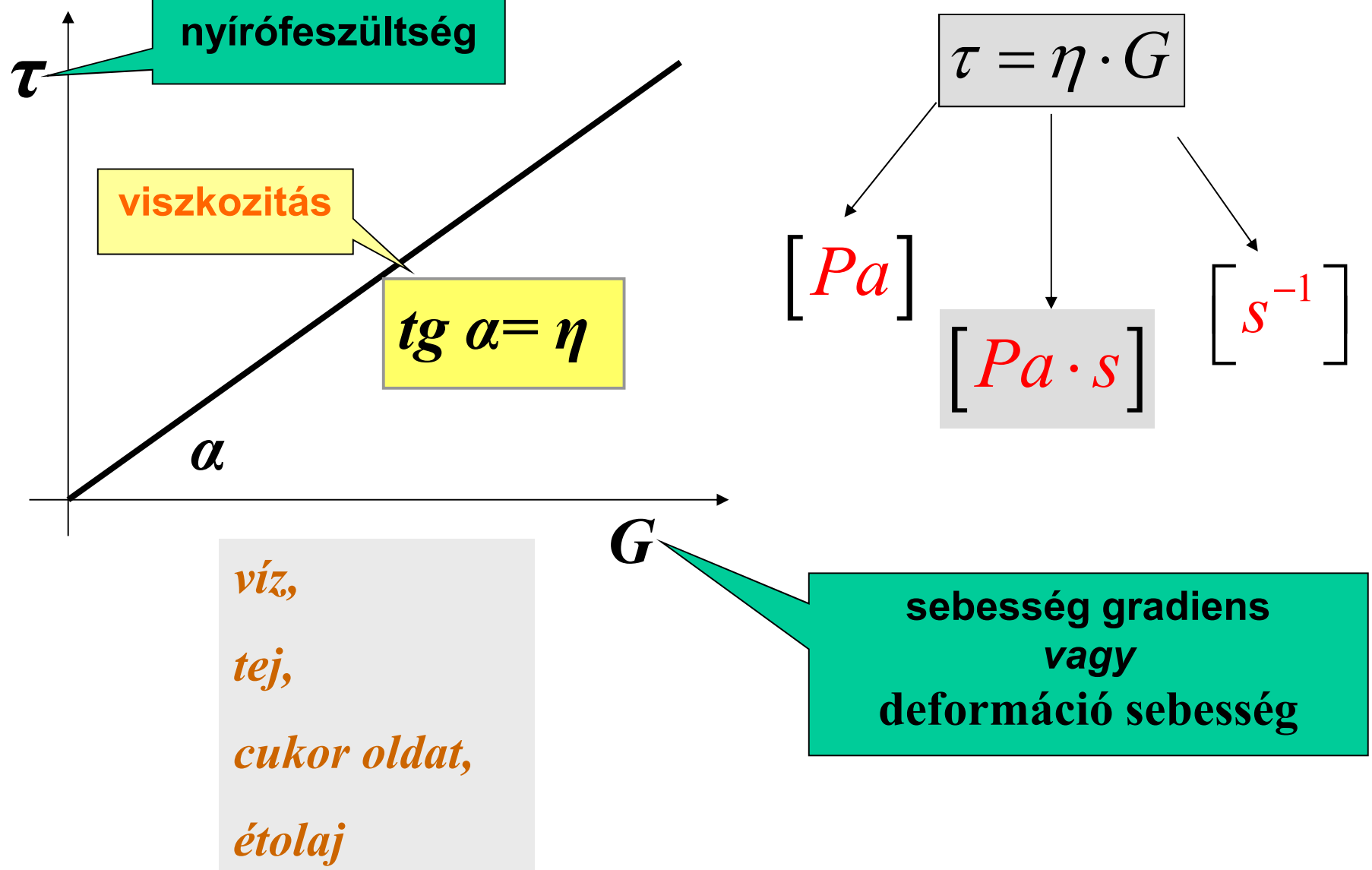
$$\tau = \frac{F}{A_S}$$



Sebesség gradiens:

$$G = \frac{\Delta v_x}{\Delta y} = \frac{\Delta v_x}{r}$$

Newtoni folyadék folyásgörbéje



Dinamikai viszkozitás (általában ezt értjük viszkozitás alatt *pascal seconds* ($\text{Pa} \cdot \text{s}$))

Régebben Jean Louis Marie Poiseuille (1797-1869) tiszteletére használták a

$$1 \text{ poise} = 100 \text{ centipoise} = 0.1 \text{ Pa} \cdot \text{s}.$$

Fluiditás a viszkozitás reciproka ($= 1/\eta$).

Kinematikai viszkozitás: a dinamikai viszkozitás és a sűrűség hányadosa ($= \eta/\rho$). ($\text{m}^2 \text{ s}^{-1}$) or the stoke (St).

anyag	T/ °C	viszkozitás /mPa · s
víz	20	1,0
glicerin	20	1500
n-pentán	20	0,23

biofolyadék	T/ °C	viszkozitás /mPa · s
vér	37	4 (nem Newtoni)
vér plazma	37	1,5
könny	37	0,73 – 0,97
levegő	18	0,018
liquor	20	1,02